

ДИСКРЕТНІ МОДЕЛІ ПОВЕРХНІ ТА ЇХНІ КВАНТОВІ СПІНОВІ ВІДПОВІДНИКИ

О. Забуранний

*Інститут фізики конденсованих систем НАН України
вул. Свенціцького, 1, 79011, м. Львів, Україна
(Отримано 21 червня 2006 р.)*

Огляд присвячено дискретним моделям поверхні та їхнім квантовим спіновим відповідникам. Розглянуто температурні переходи між гладкими, шорсткими, реконструйованими та неупорядкованою гладкою фазами. Основний аспект роботи — застосування методу трансфер-матриці для дослідження температурної поведінки ґраткових дискретних SOS (solid on solid — тверде тіло на твердому тілі)-моделей. Показано, як за допомогою цього методу зіставити параметри порядку для поверхневих фаз і фаз квантових спінових систем при нульовій температурі; встановлено залежність між асимптотичною поведінкою кореляційних функцій висота-висота та спінових кореляційних функцій.

Ключові слова: модель SOS, метод трансфер-матриці, спінові ланцюжки, перехід Костерліца–Таулеса.

PACS number(s): 64.70.Kb, 68.35.Rh

I. ВСТУП

Кристалічні поверхні демонструють багату на фазові переходи поведінку. З температурою, тиском чи введенням неоднорідності при незмінному об'ємному впорядкуванні поверхня може змінювати свою симетрію. У статті оглянуто властивості гладкої (flat), шорсткої (rough), неупорядкованої гладкої (disordered rough, DOF) і реконструйованої (reconstructed) фаз кристалічних поверхонь.

Найповніше фазові переходи на поверхні вивчено в металах. Експериментально встановлено, що у важких шляхетних металах (наприклад, Au [1–3]; Pt [4]) існує низькотемпературна реконструйована фаза $[1 \times 2]$ з подвоєним періодом ґратки на площині в напрямку (001), гладка фаза й шорстка фаза, тоді як у деяких напівшляхетних і легких шляхетних металах (Cu, Ag, Ni, Pd) існує лише перехід від гладкої до шорсткої фази [5–8]. Фазові переходи реконструкції відбуваються також на поверхні тонких плівок інертних газів (Ar, Kr, Xe) на графітній підкладці [9, 10]. Реконструкція й шорсткування присутні в поведінці площин (100) кристалів типу CsCl [11], але тут подвоюється період ґратки при реконструкції в обох напрямках поверхні. Реконструйована фаза має симетрію $[2 \times 2]$. Ще складніші структури утворюються на (110) поверхнях напівпровідників типу III–V [12, 13].

Для опису перерахованих сполук добре підходять дискретні моделі “тверде тіло на твердому тілі” [14]. SOS-моделі є класичними, у яких поверхня описується набором дискретних висот $h_{i,j}$, означених на двовимірній ґратці. Взаємодія вводиться так, щоб стабілізувати гладку поверхню — вона збільшується з різницею висот, які відповідають двом вузлам. Загальною рисою моделей SOS є те, що при низьких температурах поверхня залишається гладкою, з підвищенням температури з'являються термодинамічні відхилення — тераси й западини. При малих температурах форма

терас є простою, оскільки складність форми збільшує її енергію, але з підвищенням температури, коли відхилення починають взаємодіяти, їхня форма ускладнюється. Урешті, при певній критичній температурі T_c відбувається фазовий перехід шорсткування.

Предметом нашого зацікавлення є сполуки й моделі, які допускають утворення гладкої та реконструйованої фаз при низькій температурі. Саме в таких випадках з підвищенням температури може виникнути неупорядкована гладка фаза. Неупорядкована гладка фаза, яка є проміжною між низькотемпературною гладкою й високотемпературною шорсткою, відділена від гладкої лінією фазових переходів із постійно змінними критичними показниками, а від шорсткої — лінією фазових переходів Костерліца–Таулеса. У статті показано, що описаний сценарій відповідає переходові від антиферомагнетного, через стан валентних зв'язків, до неупорядкованого парамагнетного стану. Неуніверсальний перехід від гладкої до неупорядкованої гладкої фази називають передшорсткуванням (preroughening), а до шорсткої фази — шорсткуванням (roughening).

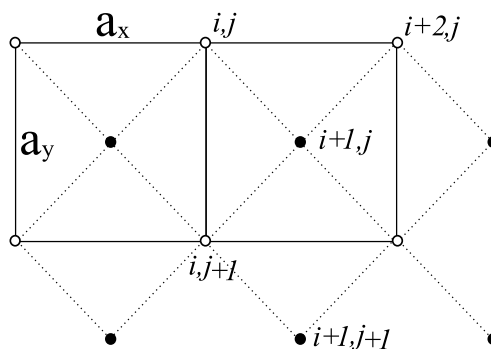


Рис. 1. Поверхня (110) об'ємоцентрованої ґратки. Світлі й темні атоми належать до двох підґраток, які зсунуті одна щодо одної на півперіоду

Найпростішою серед моделей типу SOS є BCSOS (body-centered SOS)-модель (рис. 1), у якій різниця між висотами на сусідніх вузлах може мати значення $\pm\frac{1}{2}$. Цю модель можна використати для вивчення шорсткування (100) поверхні об'ємцентрованої ґратки чи (110) поверхні гранецентрованої ґратки. Взаємодію можна ввести між найближчими чи дальшими, ніж найближчі, сусідами. Гамільтоніан для BCSOS-моделі із взаємодією найближчих сусідів (K_{2x}, K_{2y})

$$H = \sum_{i,j} \left[K_{2x} (h_{i,j} - h_{i+2,j})^2 + K_{2y} (h_{i,j} - h_{i,j+1})^2 \right] \quad (1.1)$$

допускає точний розв'язок. У 1977 році ван Бейерен [15] вказав на еквівалентність BCSOS-моделі шестивершинній моделі, що дає змогу знайти температуру шорсткування

$$e^{-K_{2x}/T_c} + e^{-K_{2y}/T_c} = 1 \quad (1.2)$$

(у шестивершинній моделі — це температура фазового переходу між антисегнетоелектричною й неупорядкованими фазами [17]). Перехід між гладкою та шорсткою фазами є переходом типу Костерліца–Таулеса. Реалізація саме такого переходу додатково посилює зацікавлення фазовими переходами на поверхні, оскільки перехід Костерліца–Таулеса є дуже м'яким фазовим переходом — вільна енергія f і всі її похідні не мають сингулярностей при $T = T_c$ ($f \sim e^{-\alpha/\sqrt{T-T_c}}$) [17]. Хоча точний розв'язок допускає лише BCSOS-модель, інші моделі (RSOS (restricted SOS) — де різниця висот — $0, \pm 1$, DGSOS (discrete gaussian) — де взаємодія пропорційна квадратів різниці висот [14]) також указують на те, що перехід від гладкої до шорсткої фази є переходом безмежного порядку Костерліца–Таулеса. Крім описаного тут (найпростішого) сценарію, SOS-моделі можуть включати далекосяжні взаємодії, описувати взаємовплив адсорбції чи реконструкції та шорсткування [16].

Новим поштовхом у вивченні температурних фазових переходів на поверхні кристалів було зіставлення RSOS-моделей з квантовими спіновими одновимірними системами. Основною ідеєю є добре відома [18] еквівалентність між класичною термодинамічною задачею в D -вимірах і пошуком основного стану для відповідного гамільтоніана в $(D-1)$ -вимірі. У 1989 році

ден Нійс і Ромелс [20] представили роботу, де встановлено відповідність між RSOS-моделлю (придатною для опису поверхні (100) простої кубічної ґратки) і квантовим спіновим ланцюжком зі спіном 1. Показано, що опис термодинаміки SOS-моделі з обмеженням різниці висот між сусідніми вузлами, яка не перевищує S — відповідає пошукові основного стану для спін- S квантового ланцюжка. Іншим значним аспектом праці [20] є те, що в ній передбачено виникнення неупорядкованої гладкої фази (DOF) і важливість взаємодії між дальшими, ніж найближчі, вузлами в утворенні реконструйованої та неупорядкованої гладкої фаз.

Далі докладніше розглянуто ідею праці [20], застосованої до BCSOS-моделі.

II. МЕТОД ТРАНСФЕР-МАТРИЦІ

У цьому розділі коротко нагадуємо метод трансфер-матриці для класичних систем, які описуються набором дискретних значень $\sigma_{n,m}$ на двовимірній ґратці. Кожна величина $\sigma_{n,m}$ може мати p значень. Припустимо, що гамільтоніан можна розбити на дві частини, які описують взаємодію між вузлами в горизонтальному й вертикальному напрямках (рис. 2). Взаємодії вздовж рядків входять у доданки H^x , кожен з яких залежить від значень змінних σ на рядку n : $H^x(\sigma_{n,1}, \sigma_{n,2}, \dots, \sigma_{n,M}) \equiv H^x(\{\sigma_n\})$. Взаємодії між двома сусідніми рядками входять у доданки $H^y(\{\sigma_n\}, \{\sigma_{n+1}\})$, які залежать від значень σ на двох сусідніх рядках n та $n+1$. Отже,

$$H = \sum_{n=1}^{N+1} [H^x(\{\sigma_n\}) + H^y(\{\sigma_n\}, \{\sigma_{n+1}\})]. \quad (2.1)$$

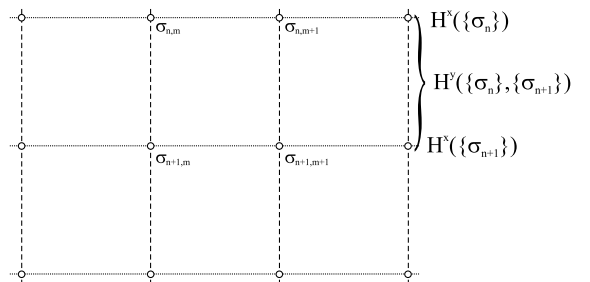


Рис. 2. Взаємодії у двовимірній моделі, що допускають застосування методу трансфер-матриці.

Статистичну суму, відповідно, запишемо так:

$$Z = \sum_{\sigma_{1,1}} \sum_{\sigma_{1,2}} \dots \sum_{\sigma_{N,M}} e^{-\beta \sum_{n=1}^{N+1} [H^x(\{\sigma_n\}) + H^y(\{\sigma_n\}, \{\sigma_{n+1}\})]}, \quad (2.2)$$

згрупуємо сумування за конфігураціями за рядками

$$Z = \sum_{\{\sigma_1\}} \sum_{\{\sigma_2\}} \dots \sum_{\{\sigma_N\}} T_{\{\sigma_2\}}^{\{\sigma_1\}} T_{\{\sigma_3\}}^{\{\sigma_2\}} \dots T_{\{\sigma_{N+1}\}}^{\{\sigma_N\}}, \quad (2.3)$$

де $T \equiv T_{\{\sigma_{n+1}\}}^{\{\sigma_n\}} = e^{-\beta [H^x(\{\sigma_n\}) + H^y(\{\sigma_n\}, \{\sigma_{n+1}\})]}$.

Величина T залежить від $2M$ змінних $\sigma_{n,m}$, означених на двох сусідніх рядках — усього $(p^M \times p^M)$ можливих значень. Якщо розглядати T як матрицю і покласти періодичні граничні умови $\{\sigma_{N+1}\} = \{\sigma_1\}$, то кожне сумування за спільними індексами в (2.3) є перемножуванням матриць, а останнє, за конфігураціями $\{\sigma_1\}$ — узяттям сліду, тому

$$Z = \text{Sp } T^N = \text{Sp}(T^x T^y)^N, \quad (2.4)$$

де $T^x = e^{-\beta H^x(\{\sigma_n\})}$ — діагональна частина трансфер-матриці, яка залежить від енергії конфігурації на рядку n , $T^y = e^{-\beta H^y(\{\sigma_n, \{\sigma_{n+1}\})}$ — позадіагональна частина, що залежить від енергії взаємодії між рядками при різних конфігураціях. В обчисленні трансфер-матриці ключовими моментами є визначення T^y . Слід зауважити, що матриці T^x та T^y не комутують.

Суть зведення класичної моделі у двох вимірах до квантової в одному полягає у знаходженні оператора трансфер-матриці \hat{T} , матричне представлення якого в певному просторі дорівнюватимуть T . Матриця T залежить від конфігурації двох сусідніх рядків. Кожний з можливих p^M -конфігурацій $\{\sigma\}$ зіставляємо вектор простору $|i\rangle$, на якому буде означений оператор \hat{T} . Матричний елемент $\hat{T}_{i,j}$ повинен дорівнювати матричному елементові T при конфігураціях сусідніх рядків, що відповідають станам $|i\rangle$ та $|j\rangle$.

Вільна енергія на один рядок у термодинамічній межі $N \rightarrow \infty$ має вигляд

$$\begin{aligned} f &= -\lim_{N \rightarrow \infty} \frac{1}{N\beta} \ln \text{Sp } T^N = -\lim_{N \rightarrow \infty} \frac{1}{N\beta} \ln \sum_{j=1}^M \Lambda_j^N \\ &= -\frac{1}{\beta} \ln \Lambda_{\max}(\beta), \end{aligned} \quad (2.5)$$

де Λ_j — власні значення матриці T , а $\Lambda_{\max}(\beta)$ — найбільше з них, яке залежить від температури. Якщо ввести гамільтоніан, який дорівнює логарифмові трансфер-матриці класичної моделі,

$$\hat{H} = -\ln \hat{T}, \quad (2.6)$$

то вільна енергія (2.5) буде енергією основного стану (2.6) $f = -\frac{1}{\beta} E_{\text{GS}}$. Отже, щоб вивчити поведінку в класичній моделі, потрібно дослідити поведінку при нульовій температурі квантової моделі (2.6).

III. ТРАНСФЕР-МАТРИЦЯ ДЛЯ BCSOS-МОДЕЛІ

Для SOS-моделей шукаємо гамільтоніан у спірному просторі. Це буде гамільтоніан одновимірної спі-

нової системи. Величина спіну залежатиме від обмеження, яке накладається на різницю висот між сусідніми висотами SOS-моделі. У цьому розділі розглянуто BCSOS-модель, а далі показано, як метод діє для інших SOS-моделей.

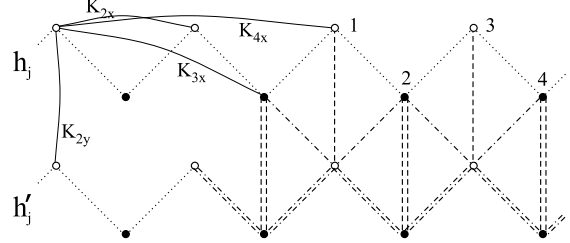


Рис. 3. BCSOS-модель із взаємодіями K_{2x} , K_{3x} , K_{4x} , K_{2y} . Поділ на рядки показано пунктирною лінією. Штрих-пунктирній, штрихований і подвійний штрихований лініям відповідають дії операторів T^x , T^y_{odd} і T^y_{even} відповідно.

Поділімо поверхню на рядки так, як показано на рис. 3 (штрихована лінія). Це найзручніший, але не єдиний можливий поділ на рядки для обчислення трансфер-матриці. Трансфер-матриця залежатиме від конфігурацій двох сусідніх рядків $\{h\}$ і $\{h'\}$, де $\{h\}$ — набір значень $h_1 \dots h_M$. Зіставимо z -компоненті спіну різницю висот $s^z_j = h_{j+1} - h_j$. Тоді діагональну частину T^x запишемо лише через різниці висот в одному, нештрихованому рядку $\{h\}$

$$T^x = \prod_j e^{-\beta K_{2x} \delta(|h_{j-1} - h_{j+1}| - 1)}. \quad (3.1)$$

Для того, щоб знайти позадіагональну компоненту T^y , потрібно знайти такий оператор, який, діючи на нештрихований рядок, дасть суму всіх дозволених конфігурацій штрихованого рядка з потрібними больцманівськими множниками. Очевидно, що отримати допустимі конфігурації $\{h'\}$ можна, підіймаючи чи опускаючи певні висоти в $\{h\}$ на одиницю, але пильнуючи, щоб не порушувалися умови BCSOS — різниці сусідніх висот не можуть перевищувати $\frac{1}{2}$.

Уведемо оператор підняття й опускання висоти на вузлі j ,

$$e^{\pm iU_j} |h\rangle = e^{\pm iU_j} |\dots h_j \dots\rangle = |\dots h_j \pm 1 \dots\rangle, \quad (3.2)$$

і проєкційний оператор, який забезпечує виконання BCSOS-умови

$$P_{j,j+1} |\dots h_j, h_{j+1}, \dots\rangle = \begin{cases} |\dots h_j, h_{j+1}, \dots\rangle, & \text{якщо } |h_j - h_{j+1}| = \frac{1}{2}, \\ 0, & \text{якщо } |h_j - h_{j+1}| > \frac{1}{2}. \end{cases} \quad (3.3)$$

Розгляньмо дію оператора

$$T^y_{\text{odd}} = \prod_{j=\text{odd}} P_{j-1,j} P_{j,j+1} (1 + e^{-\beta K_{2y}} e^{iU_j} + e^{-\beta K_{2y}} e^{-iU_j}),$$

$$T_{\text{even}}^y = \prod_{j=\text{even}} P_{j-1,j} P_{j,j+1} (1 + e^{-\beta K_{2y}} e^{iU_j} + e^{-\beta K_{2y}} e^{-iU_j}). \quad (3.4)$$

У результаті дії кожного множника в (3.4) на певний стан $|h\rangle$ отримуємо суму трьох станів: тотожного, з піднятим і з опущеним на одиницю вузлом. Проекційні оператори забезпечать відсутність у сумі двох останніх доданків, якщо вони суперечать умові BCSOS. Також бачимо, що в операторі T_{odd}^y введено потрібні больцманівські множники. Справді, енергія взаємодії між двома вузлами з висотами h_j і h'_j , які відрізняються на одиницю, дорівнює K_{2y} . Після того, як подіяти на певний стан $|h\rangle$ оператором T_{odd}^y , отримаємо суму, в яку входять усі дозволені стани з висотами, що відрізняються від висот $|h\rangle$ на всіх непарних вузлах не більше ніж на одиницю, кожен доданок буде домножений на відповідний больцманівський множник. Проекційні оператори P залишать у сумі лише ті стани $|h'\rangle$, висоти на непарних вузлах у яких відрізняються від висот на парних вузлах $|h\rangle$ на $\frac{1}{2}$ (рис. 3, штрих-пунктирні лінії). Якщо після дії оператором T_{odd}^y подіяти T_{even}^y , то отримаємо

вже суму з усіма допустимими станами $|h'\rangle$, такими, що висоти відрізняються від $|h\rangle$ на одиницю. Проекційні оператори в T_{even}^y відберуть тільки ті парні висоти в $|h'\rangle$, які відрізняються від непарних в $|h\rangle$ на $\frac{1}{2}$. Отже, проекційні оператори в T_{odd}^y і T_{even}^y забезпечують виконання BCSOS-умови між станами $|h\rangle$ та $|h'\rangle$ і всередині рядка $|h'\rangle$ відповідно (рис. 3, подвійні штрих-пунктирні лінії). Трансфер-матрицю остаточно запишемо як $T = T^x T_{\text{even}}^y T_{\text{odd}}^y$.

Для того, щоб виразити трансфер-матрицю через оператори спіну, означимо $s_j^z = h_{j+1} - h_j$. Діагональна частина трансфер-матриці (3.1), виражена через спінові оператори, матиме вигляд $T^x = \prod_j e^{-\beta K_{2x} (s_{j-1}^z + s_j^z)^2}$. Порівнявши дію операторів (3.2), (3.3) з дією операторів s_j^z , s_j^+ , s_j^- (див. таблицю 1), отримаємо таке спінорне представлення:

$$P_{j-1,j} P_{j,j+1} e^{iU_j} = s_{j-1}^+ s_j^-.$$

$ j-1, j, j+1\rangle$	$P_{j-1,j} P_{j,j+1} e^{iU_j}$	$P_{j-1,j} P_{j,j+1} e^{-iU_j}$	$ s_{j-1}^z s_j^z\rangle$	$s_{j-1}^+ s_j^-$	$s_{j-1}^- s_j^+$
$ 0, \frac{1}{2}, 1\rangle$	0	0	$ \uparrow\uparrow\rangle$	0	0
$ 0, \frac{1}{2}, 0\rangle$	0	$ 0, -\frac{1}{2}, 0\rangle$	$ \uparrow\downarrow\rangle$	0	$ \downarrow\uparrow\rangle$
$ 0, -\frac{1}{2}, 0\rangle$	$ 0, \frac{1}{2}, 0\rangle$	0	$ \downarrow\uparrow\rangle$	$ \uparrow\downarrow\rangle$	0
$ 0, -\frac{1}{2}, -1\rangle$	0	0	$ \downarrow\downarrow\rangle$	0	0

Таблиця 1. Порівняння дії операторів P , U в просторі висот $|h\rangle$ і дії спінових операторів s^\pm .

Беручи до уваги, що проекційні оператори й оператори підняття (опускання) висоти на різних вузлах комутують, повну трансфер-матрицю запишемо через спінові оператори

$$T = \prod_j e^{-\beta K_{2x} (s_{j-1}^z + s_j^z)^2} \prod_{j=\text{even}} [1 + e^{-\beta K_{2y}} (s_{j-1}^+ s_j^- + s_{j-1}^- s_j^+)] \prod_{j=\text{odd}} [1 + e^{-\beta K_{2y}} (s_{j-1}^+ s_j^- + s_{j-1}^- s_j^+)]. \quad (3.5)$$

Для того, щоб знайти гамільтоніян квантової системи, потрібно обчислити логарифм трансфер-матриці (3.5). Це точно зробити неможливо через те, що добуток в позадіагональній частині трансфер-матриці не комутують.

IV. НАБЛИЖЕННЯ СИЛЬНОЇ АНІЗОТРОПІЇ. ПІДХІД ОДНОГО ПЕРЕКИДУ

Оператор трансфер-матриці є оператором спінів в одному вимірі, отже гамільтоніян описуватиме спінову, квантову одновимірну систему. Однак некомутативність множників в операторі T змушує нас застосувати наближені підходи, обчислюючи гамільтоні-

ян квантового відповідника моделі поверхні. Припустимо, що взаємодія вздовж осі в нашій моделі достатньо сильна, так, що $\beta K_{2y} \gg 1$. Це означає, що $e^{-\beta K_{2y}}$ є малою величиною і вираз (3.5) переписуємо у вигляді

$$T = \prod_j e^{-J_z (s_{j-1}^z + s_j^z + \frac{1}{4})} \prod_j e^{\frac{J}{2} (s_{j-1}^+ s_j^- + s_{j-1}^- s_j^+)}, \quad (4.1)$$

де $\frac{J}{2} = e^{-\beta K_{2y}}$, $J_z = 2\beta K_{2x}$. Якщо припустити, що взаємодія вздовж осі x є слабкою $2\beta K_{2x} \ll 1$, то некомутативність операторів в експоненті можна знехтувати і переписати остаточно трансфер-матрицю в наближенні сильної анізотропії

$$T = e^{\sum_j -J_z (s_{j-1}^z + s_j^z + \frac{1}{4}) + \frac{J}{2} (s_{j-1}^+ s_j^- + s_{j-1}^- s_j^+)}, \quad (4.2)$$

звідки з точністю до неважливих доданків отримуємо гамільтоніан квантової спінової моделі

$$H = \sum_j -J_z s_{j-1}^z s_j^z + \frac{J}{2} (s_{j-1}^+ s_j^- + s_{j-1}^- s_j^+), \quad (4.3)$$

що є гамільтоніаном спін- $\frac{1}{2}$ XXZ моделі. Відомо [19], що XXZ -ланцюжок при нульовій температурі зазнає фазового переходу в точці $J_z = J$. Звідси можна знайти критичну температуру переходу від гладкої до шорсткої фази

$$\beta K_{2x} = e^{-\beta K_{2y}}. \quad (4.4)$$

Описаний метод трансфер-матриці можна застосувати до складніших SOS-моделей. Для BCSOS-моделі існує точний розв'язок (1.2), що дає змогу оцінити точність наближення сильної анізотропії (рис. 4). Якщо цікавитися лише температурою фазового переходу, то навіть для ізотропної ґратки ($J_{2x} = J_{2y}$) наближення сильної анізотропії є прийнятним.

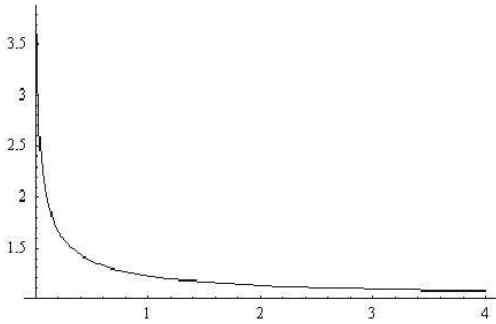


Рис. 4. Відношення критичної температури шорсткування, отриманої в наближенні сильної анізотропії до точного результату залежно від ступеня неоднорідності ґратки (K_{2y}/K_{2x}) для BCSOS-моделі.

Розгляньмо підхід одного перекиду, який дозволяє суттєво спростити обчислення трансфер-матриці в наближенні сильної анізотропії. Повернімося до питання про вигляд позадіагональної частини трансфер-матриці T^y . Узавши до уваги, що $\beta K_{2y} \gg 1$, потрібно знайти такий оператор T^y , що $T^y|h\rangle$ є сумою усіх станів, що відрізняється від $|h\rangle$ висотою лише на одному вузлі

$$T^y|h\rangle = |h\rangle + e^{-\beta K_{2y}} \sum_k (|\dots h_k + 1 \dots\rangle + |\dots h_k - 1 \dots\rangle). \quad (4.5)$$

Усіма іншими доданками можна знехтувати, оскільки больцманівські множники будуть пропорційними квадратам $e^{-\beta K_{2y}}$. Шуканий оператор має вигляд $T^y = 1 + e^{\frac{J}{2}} \sum_j P_{j-1,j} P_{j,j+1} (e^{iU_j} + e^{-iU_j})$. У спіновому зображенні це відповідає сумі одиничного оператора та операторів перекиду спіну $T^y = 1 + e^{\frac{J}{2}} \sum_j (s_{j-1}^- s_j^+ + s_{j-1}^+ s_j^-)$. Маючи T^y і нехтуючи некомутативністю T^y та T^x , що відповідає наближенню $\beta K_{2y} \gg 1, \beta K_{2x} \ll 1$, знову отримуємо гамільтоніан (4.3).

Формально здійснити перехід від трансфер-матриці (3.5) до гамільтоніана (4.3) можна в межах низьких температур $\beta \gg 1$. Оскільки потрібно знайти температуру фазового переходу, яка сумірна з одиницею, слід прийняти наближення сильної анізотропії. Для докладно розглянутої BCSOS-моделі існує точний розв'язок, тому виладені обчислення використовуються для перевірки прийнятності наближення сильної анізотропії й узгодження формулювання підходу одного перекиду з наближенням сильної анізотропії.

V. ВЗАЄМОДІЯ ДАЛЬШИХ, НІЖ НАЙБЛИЖЧІ, СУСІДІВ

Розгляньмо BCSOS-модель (1.1) з додатковою взаємодією вздовж осі x K_{4x} :

$$H = \sum_{i,j} \left[K_{2x} (h_{i,j} - h_{i+2,j})^2 + K_{2y} (h_{i,j} - h_{i,j+1})^2 \right] + \sum_{i,j} K_{4x} (h_{i,j} - h_{i+4,j})^2. \quad (5.1)$$

Приймаємо, що K_{4x} є додатним, інакше поверхня (110) буде нестабільною. K_{2x} може мати як від'ємний, так і додатний знак. Основний стан буде гладким при $K_{2x} > 0$. Якщо $K_{2x} < 0$, то основний стан поверхні буде реконструйованим, коли висоти вздовж осі x чергуватимуться з періодом 4: $(0, 1, 2, 1, 0, \dots)$. При $K_{2x} < -8K_{4x}$ поверхня (110) стає нестабільною.

Додатковий множник у гамільтоніані (5.1) не приводить до суттєвих ускладнень при обчисленні трансфер-матриці. Оскільки взаємодія K_{4x} стосується лише одного рядка в нашому поділі ґратки, то зміниться лише діагональна частина трансфер-матриці

$$T^x = \prod_j e^{-\beta K_{2x} (s_{j-1}^z - s_j^z)^2 + K_{4x} (s_{j-2}^z + s_{j-1}^z + s_j^z + s_{j+1}^z)^2}. \quad (5.2)$$

У наближенні сильної анізотропії гамільтоніан квантового відповідника матиме вигляд:

$$H = - \sum_j \frac{J}{2} (s_{j-1}^+ s_j^- + s_{j-1}^- s_j^+) + \sum_j \left(J_z s_{j-1}^z s_j^z + J_2 s_j^z s_{j+2}^z + \frac{J_2}{2} s_j^z s_{j+3}^z \right), \quad (5.3)$$

де $J = 2e^{-\beta K_{2y}}$, $J_z = 2\beta K_{2x} + \frac{3}{2}\beta K_4$, $J_2 = \beta K_4$. Ми отримали одновимірну спінову модель із взаємодією дальших, ніж найближчі, сусідів. В описаному підході можна врахувати й інші взаємодії (рис. 1). Так, можна ввести взаємодію вздовж рядка $\sim (h_{i,j} - h_{i+3,j})^2$, що приведе до перенормування коефіцієнтів при $s_j^z s_{j+1}^z, s_j^z s_{j+2}^z$ в гамільтоніані. Можна врахувати взаємодію $\sim (h_{i+1,j} - h_{i,j\pm 2})^2$, що в наближенні сильної анізотропії перенормує доданки $s_j^z s_{j+1}^z$.

VI. RSOS-МОДЕЛЬ

Моделі RSOS можна використовувати для опису поверхні (100) простого кубічного кристала. В цих моделях різниця між висотами найближчих вузлів обмежена певним числом; у найпростішому випадку, який і розглядатиметься далі, — одиницею. Найзагальніший гамільтоніян має вигляд [20]

$$H = \sum_{i,j} [K\delta(|h_{i,j} - h_{i+1,j}| - 1) + K\delta(|h_{i,j} - h_{i,j+(-1)^i}| - 1) + K_{2x}\delta(|h_{i,j} - h_{i+2,j}| - 1) + L_{2x}\delta(|h_{i,j} - h_{i+2,j}| - 2) + K_{2y}\delta(|h_{i,j} - h_{i,j+1}| - 1) + L_{2y}\delta(|h_{i,j} - h_{i,j+1}| - 2) + Q\delta(|h_{i-1,j} - h_{i+1,j}| - 1)\delta(|h_{i,j} - h_{i,j+1}| - 1)], \quad (6.1)$$

де δ — символ Кронекера. Взаємодії зображено на рис. 5. Стан квантового гамільтоніяна і трансфер-матрицю визначимо на зигзагоподібному рядку. Відразу можна записати діагональну частину трансфер-матриці

$$T^x = \prod_j e^{-\beta K\delta(|h_j - h_{j+1}| - 1) + K_{2x}\delta(|h_j - h_{j+2}| - 1) + L_{2x}\delta(|h_j - h_{j+2}| - 2)}, \quad (6.2)$$

де індекс рядка i опущено. Спінкові стани s_j^z визначимо аналогічно, як у BCSOS-моделі, тому можна записати (6.2) через спін-1 оператори

$$T^x = \prod_j e^{-\beta[(K+K_{2x})(s_j^z s_{j+1}^z)^2 + \frac{L_{2x}}{2}s_j^z s_{j+1}^z - (2K_{2x} - \frac{L_{2x}}{2})(s_j^z s_{j+1}^z)^2]}. \quad (6.3)$$

Для того, щоб знайти позадіагональну частину трансфер-матриці, потрібно перейти до наближення сильної анізотропії. У цьому випадку слід знайти такий оператор, діючи яким на стан $|h\rangle$, отримуємо суму всіх допустимих станів $|h'\rangle$, що не відрізняються або відрізняються від $|h\rangle$ висотою тільки на одному вузлі. Таким оператором буде

$$T^y = \prod_{j=\text{even}} T_j^y \times \prod_j e^{-\beta K\delta(|h_j - h_{j+1}| - 1)} \times \prod_{j=\text{odd}} T_j^y, \\ T_j^y = P(h_{j-1,j})P(h_{j,j+1}) \{1 + e^{-\beta L_{2y}}(e^{2iu_j} + e^{-2iu_j}) + e^{-\beta K_{2y}} [1 + (e^{-\beta Q} - 1)\delta(|h_{j-1} - h_{j+1}| - 1)](e^{iu_j} + e^{-iu_j})\}, \quad (6.4)$$

де оператори u і P аналогічні до (3.3) з тією різницею, що проєкційні оператори дорівнюють, одиниці, якщо $|h_j - h_{j+1}| \leq 1$.

$ j-1, j, j+1\rangle$	$P_{j-1,j}P_{j,j+1}e^{iU_j}$	$P_{j-1,j}P_{j,j+1}e^{-iU_j}$	$ s_{j-1}^z s_j^z\rangle$	$s_{j-1}^+ s_j^-$	$s_{j-1}^- s_j^+$
$ 0, 1, 2\rangle$	0	0	$ \uparrow\uparrow\rangle$	0	0
$ 0, 1, 1\rangle$	0	$ 0, 0, 1\rangle$	$ \uparrow\rangle$	0	$ 0\uparrow\rangle$
$ 0, 1, 0\rangle$	0	$ 0, 0, 0\rangle$	$ \uparrow\downarrow\rangle$	0	$ 00\rangle$
$ 0, 0, 1\rangle$	$ 0, 1, 1\rangle$	0	$ 0\uparrow\rangle$	$ \uparrow 0\rangle$	0
$ 0, 0, 0\rangle$	$ 0, 1, 0\rangle$	$ 0, -1, 0\rangle$	$ 00\rangle$	$ \uparrow\downarrow\rangle$	$ \downarrow\uparrow\rangle$
$ 0, 0, -1\rangle$	0	$ 0, -1, -1\rangle$	$ 0\downarrow\rangle$	0	$ \downarrow 0\rangle$
$ 0, -1, 0\rangle$	$ 0, 0, 0\rangle$	0	$ \downarrow\uparrow\rangle$	$ 00\rangle$	0
$ 0, -1, -1\rangle$	$ 0, 0, -1\rangle$	0	$ \downarrow 0\rangle$	$ 0\downarrow\rangle$	0
$ 0, -1, -2\rangle$	0	0	$ \downarrow\downarrow\rangle$	0	0

Таблиця 2. Дія операторів P , U та спінових операторів у RSOS-моделі.

Множники із взаємодією K в експоненті враховують взаємодію між парними вузлами в $|h\rangle$ і непарними в $|h'_j\rangle$, чого для BCSOS-моделі не потрібно було робити, оскільки різниці найближчих висот у ній завжди $\frac{1}{2}$.

Нехтуючи некомутативністю операторів у показниках експоненти, що відповідає наближенню $\beta K \ll 1$, $\beta K_{2x} \ll 1$, $\beta L_{2x} \ll 1$, $\beta K_{2y} \gg 1$, $\beta L_{2y} \gg 1$, гамільтоніян одновимірної спінової системи зобразимо у вигляді $H = \ln T^y T^x$. Запишемо гамільтоніян виразу через спінові оператори (таблиця 2):

$$H = \sum_j \left\{ -\frac{J}{2}(s_j^+ s_{j+1}^- + s_j^- s_{j+1}^+) - \frac{J_L}{2}[(s_j^+ s_{j+1}^-)^2 + (s_j^- s_{j+1}^+)^2] - \frac{J_Q}{2}[s_j^z s_{j+1}^z (s_j^+ s_{j+1}^- + s_j^- s_{j+1}^+) + (s_j^+ s_{j+1}^- + s_j^- s_{j+1}^+) s_j^z s_{j+1}^z] + J_z s_j^z s_{j+1}^z + \Delta (s_j^z s_{j+1}^z)^2 + D s_j^{z2} \right\}, \quad (6.5)$$

де $J = e^{-\beta(K_{2y}+Q)}$, $J_L = 2e^{-\beta L_{2y}}$, $J_Q = e^{\beta Q} - 1$, $J_z = \frac{1}{2}L_{2x}$, $\Delta = -2K_{2x} + \frac{1}{2}L_{2x}$, $D = 2K + 2K_{2x}$. Він відповідає одновимірній спин-1 моделі зі взаємодіями найближчих сусідів.

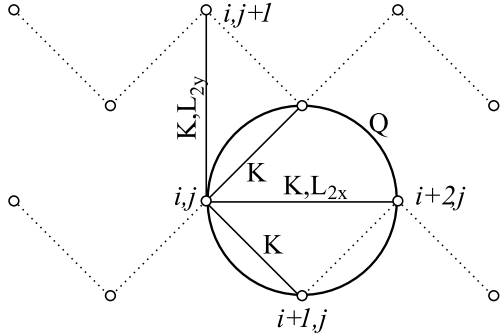


Рис. 5. RSOS-модель із взаємодіями K , K_{2x} , L_{2x} , K_{3y} , L_{4y} , Q . Поділ на рядки показано пунктирною лінією.

Докладний аналіз фазової діаграми отриманої спінової моделі виходить поза межі цієї роботи; з ним можна ознайомитися в уже згаданій праці ден Нійса і Ромелса [20]. Тут потрібно наголосити на важливих деталях. У моделі, залежно від знаків взаємодій K , L_1^x , L_2^x , можуть бути три впорядковані фази, що відповідають гладким фазам поверхні (гладкій RSOS, BCSOS і реконструйованій BCSOS фазі). У системі є також RSOS і BCSOS неупорядковані шорсткі фази, у яких на великих відстанях кореляційні функції $G(r) = \langle (h_i - h_{i+r})^2 \rangle \sim \ln r$. Існує також неупорядкована гладка фаза (DOF), у якій температурою зруйнований позиційний порядок сходинок поверхні догори-донизу, але залишається впорядкованою почерговість сходинок, що виражається відмінним від нуля параметром порядку $\psi = \langle e^{i\pi h_i} (h_i - h_{i+1}) \rangle$. Усі описані фази мають відповідники “спіновою мовою”. Гладкі фази відповідають феро- або антиферомагнетним основним станам спин-1 ланцюжка. Шорсткі фази — магнетно неупорядкованому основному станові, і неупорядкована гладка фаза — станові валентних зв’язків (VBS). Докладніше природу неупорядкованої гладкої фази буде обговорено на прикладі BCSOS-моделі.

VII. ОБГОВОРЕННЯ ФАЗОВОЇ ДІАГРАМИ BCSOS-МОДЕЛІ, РЕКОНСТРУЙОВАНА І DOF ФАЗИ

Повернімося до розгляду BCSOS-моделі зі взаємодією K_{4x} (5.1). Деталі побудови фазової спінової діаграми основного стану можна знайти в роботі [21]. Тут представлено лише якісну поведінку поверхні при зміні температури (рис. 6). Основний стан поверхні,

залежно від знака K_{2x} , є гладким $[1 \times 1]$ або гладким реконструйованим $[1 \times 2]$. Із підвищенням температури відбувається перехід до шорсткої фази, можливо, з переходом через посередню DOF фазу. У деяких випадках основний стан відомий точно і характеристики поверхні можна знайти докладно. Ці точки — це класичні стани Ніеля, що відповідають нульві температури (або $K_{2y} \rightarrow \infty$); стан ідеально димеризованого стану, що відповідає ланцюжкові Маджумдара-Гоша [19] (ця точка відсутня на рис. 6, оскільки в нашій моделі є взаємодії $s_j^z s_{j+3}^z$); і стан, що відповідає XY-ланцюжкові ($K_{2x} = 0$, $K_{4x} = 0$ або $T \rightarrow \infty$). У перерахованих випадках відомо точний вигляд кореляційних функцій спінової системи.

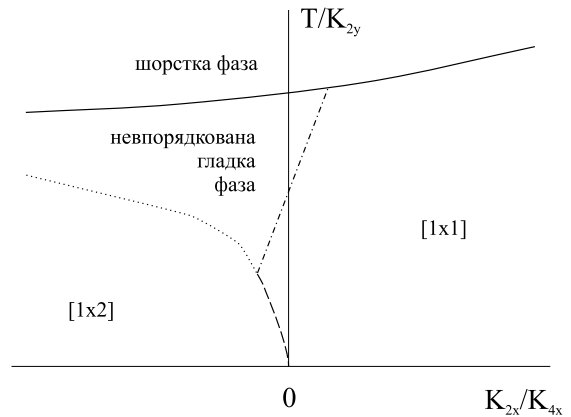


Рис. 6. Якісна фазова діаграма для BCSOS-моделі. По осях відкладено анізотропію й температуру. Суцільна крива відповідає переходу Костерліца-Таулеса, штрихована — фазовим переходам першого роду між двома гладкими фазами, крапкована — Ізинґовій критичній поведінці. Штрих-пунктирна лінія відображає криву фазових переходів другого роду з постійно змінними критичними показниками.

Кореляційну функцію висота-висота можна записати через двоспінові кореляційні функції

$$G(n) = \langle (h_0 - h_n)^2 \rangle = \sum_{j,k=1}^n \langle s_j^z s_k^z \rangle_0, \quad (7.1)$$

за умови трансляційної інваріантності спінових кореляційних функцій отримаємо

$$G(n) = n\frac{1}{4} + 2 \sum_{j=1}^n (n-j) \langle s_0^z s_j^z \rangle_0. \quad (7.2)$$

Загалом, точні вирази для спінових кореляційних функцій невідомі, але для визначення асимптотичної поведінки $\lim_{n \rightarrow \infty} G(n)$ потрібно знати лише асимптотичну поведінку кореляційних функцій $\langle s_0^z s_j^z \rangle_0$. Крім того, усі доданки, які пропорційні n у фазах, де сумарне намагнічення дорівнює нулеві (а саме такими є всі фази, які нас цікавлять) при обчисленні $G(n)$, за умови великих n , прямують до сталої. Остаточно вираз для асимптотичної поведінки кореляційної функції, за умови великих n , матиме вигляд

$$G(n) \sim - \sum_{j=1}^n j \langle s_0^z s_j^z \rangle_0. \quad (7.3)$$

Параметром порядку спінової моделі у фазі $[1 \times 1]$ є “шахоподібне намагнічення” $P_1 = (\frac{1}{N} \sum_j (-1)^j \langle s_j^z \rangle_0)^2$, а у фазі $[1 \times 2]$ компонента димерного оператора $P_2 = (\frac{1}{N} \sum_j (-1)^j \langle s_j^z s_{j+1}^z \rangle_0)^2$. Обидва стани мають далекий порядок — двоспінові кореляційні функції експоненційно спадають на далеких відстанях до певного скінченного значення. З (7.3) видно, що в гладких фазах $G(n) < \text{const}$. В ідеально впорядкованих станах $[1 \times 1]$ і $[1 \times 2]$ спінові кореляційні функції відомі і можна знайти $G(n)$ точно — $G(n) = \frac{1}{8}(1 - (-1)^n)$ для фази $[1 \times 1]$ та $G(4n) = 0, G(4n+1, 3) = \frac{1}{4}, G(4n+2) = 1$ для фази $[1 \times 2]$.

У фазі спінової рідини відсутнє впорядкування, а спінові кореляційні функції є такими [22]: $\langle s_0^z s_j^z \rangle_0 = -\frac{1}{4\pi^2 \eta j^2} + (1)^j \frac{A}{j^{1/\eta}} + \dots$, що дозволяє за допомогою (7.3) знайти асимптотику кореляційної функції $G(n) \sim \ln(n)$. Для ХХ-ланцюжка кореляційні функції відомі точно — $\langle s_0^z s_{2j+1}^z \rangle_0 = -\frac{1}{\pi^2(2j+1)^2}, \langle s_0^z s_{2j}^z \rangle_0 = 0$, звідки $G(2n) = \frac{\gamma + 2 \ln 2 + \Gamma(n) + n \frac{\Gamma'(n)}{\Gamma(n)}}{\pi^2}$, де $\gamma \simeq 0.577$ — стала Ейлера, Γ — гамма-функція.

Невпорядкована гладка фаза відповідає димеризованій фазі — кореляційні функції спадають до нуля експоненційно, але далекий порядок існує і виражається у відмінності від нуля z -компоненти димеризаційного оператора. Експоненційне спадання кореляційної функції дає змогу знайти асимптотику кореляційних функцій $G(n) < \text{const}$, а у випадку ідеальної димеризації можна знайти точний вираз для $G(n)$

$$\begin{aligned} \langle s_j^z s_k^z \rangle_0 &= \frac{1}{4} \delta_{j,k} \\ &- \frac{1}{8} [\delta_{j,k+1} + \delta_{j,k-1} - (-1)^j (\delta_{j,k-1} - \delta_{j,k+1})], \end{aligned}$$

$$G(n) = \frac{1}{8}(1 - (-1)^n).$$

Слід зауважити, що нієлівські стани $[1 \times 1]$ і $[1 \times 2]$ є дво- і чотирикратно виродженими, а димеризований стан — двократно виродженим. Ми обмежились розглядом тільки одного з вироджених станів, оскільки інші тривіально отримуємо просторовою трансляцією.

Параметри порядку для спінових систем потрібно пов'язати з певними величинами, означеними мовою поверхні. Основною проблемою є те, що, отримуючи спінову модель, припускаємо просторову неоднорідність, і будь-яка величина, що визначена на спінових операторах, враховуватиме існування чи відсутність впорядкування лише в одному напрямку. Розгляньмо докладніше ідеальний димеризований стан.

$$|\Psi\rangle = |12\rangle|34\rangle \dots |N-1N\rangle, \quad (7.4)$$

де $|ij\rangle = \frac{1}{\sqrt{2}}(|\uparrow\downarrow\rangle - |\downarrow\uparrow\rangle)$. Якщо розписати добуток синглетів (7.4), то отримаємо $2^{\frac{N}{2}}$ доданків, кожен з яких буде таким:

$$(\uparrow\downarrow)(\uparrow\downarrow)(\downarrow\uparrow)(\downarrow\uparrow)(\uparrow\downarrow)(\uparrow\downarrow) \dots \quad (7.5)$$

Видно, що в конфігурації зустрічаються два спіни, орієнтовані вниз, що відповідає на поверхні сходинці вниз. Далі — антиферромагнетно впорядкований відрізок і два спіни орієнтовані вверх, що відповідає сходинці вверх. Оскільки кожен із доданків типу (7.5) складається з добутків синглетів на сусідніх вузлах, то це означає, що завжди після двох сусідніх спінів, орієнтованих вниз (сходинки вниз), ідуть два спіни, орієнтовані вверх (сходинки вверх), і навпаки. Отже, поверхня залишається гладкою, але в цій фазі втрачено порядок сходинки у площині.

Розгляньмо оператор $\text{Step}_j = 2(s_{j-1}^z s_j^z + \frac{1}{4})$ [23], який відмінний від нуля тоді, коли на вузлах $(j-1, j)$ спіни орієнтовані, як $\uparrow\uparrow$ або $\downarrow\downarrow$. “Мовою” поверхні це означає, що на вузлі j є сходинка догори або донизу. Кореляційна функція сходинка-сходинка в димеризованому стані (7.4) дорівнює

$$\langle \Psi | \text{Step}_j \text{Step}_{j+n} | \Psi \rangle = \begin{cases} \frac{1}{2} & \text{якщо } n = 0, \\ \frac{1}{4} & \text{якщо } n \geq 2 \text{ і парне,} \\ 0 & \text{інакше,} \end{cases} \quad (7.6)$$

це означає, що відстань між сходинками завжди парна. У праці [23] методом точної діагоналізації пороховано кореляційну функцію сходинка-сходинка для

системи, що перебуває в DOF-фазі, але не допускає точного розв'язку. Показано, що $\langle \Psi | \text{Step}_j \text{Step}_{j+n} | \Psi \rangle$ на великих віддальх спадає до нуля, але має осци-

ляційний характер з періодом π — сходинки воліють розміщуватися одна щодо одної на парній віддалі.

Між сходинками розташовані відрізки нієлівського впорядкування. Якщо поділити ґратку на дві підґратки (з парними й непарними вузлами), то відрізки з максимумами, що відповідають одній з них, траплятимуться частіше. Інакше кажучи, вузли однієї з підґраток переважають серед локальних максимумів. Це спостереження підказує, як побудувати параметр порядку на поверхні, який би виокремив DOF-фазу:

$$P_{\text{DOF}} = \langle \frac{1}{N} \sum_r e^{iGr} O_r \rangle,$$

$$O_r = \frac{1}{16} \prod_{i=1}^4 [\Delta h_{r,i} + 1], \quad (7.7)$$

де G — вектор оберненої ґратки. Результат дії оператора O_r відмінний від нуля тільки тоді, коли на вузлі r є локальний максимум поверхні. Якщо P_{DOF} відмінне від нуля, то це вказує на переважання вузлів певної підґратки на верхньому шарі поверхні (рис. 1). У роботі [23], [24] обчислення методом Монте-Карло підтверджують, що в DOF-фазі P_{DOF} відмінне від нуля. Властивості всіх фаз підсумовано в таблиці 3.

	гладка $[1 \times 1]$	гладка $[1 \times 2]$	шорстка	DOF
виродження	2	4	1	2
щільна	$\neq 0$	$\neq 0$	0	$\neq 0$
$\lim_{n \rightarrow \infty} G(n)$	const	const	$\ln r$	const
P_1	$\neq 0$	0	0	0
P_2	0	$\neq 0$	0	0
P_{DOF}	$\neq 0$	$\neq 0$	0	$\neq 0$

Таблиця 3. Характеристики фаз, що зображені на фазовій діаграмі (рис. 6) для BCSOS-моделі (5.1).

VIII. ПІДСУМОК

Кристалічні поверхні виявляють багату критичну поведінку і мають широке практичне застосування. Експериментально підтверджено існування всіх описаних у цьому розділі сценаріїв — реконструкції, передшорсткування й шорсткування, хоча експериментальне дослідження двох останніх переходів стикається з труднощами з огляду на безмежний порядок переходу шорсткування та неуніверсальність передшорсткування. З другого боку, саме ці два типи фазових переходів підтримують постійне академічне зацікавлення дискретними моделями поверхні.

Аналогія SOS-моделей із квантовими спіновими одновимірними системами дає змогу використати ре-

зультати теорії низьковимірного магнетизму у вивченні поверхневих фазових переходів. Саме ця аналогія дозволяє описати неупорядковану гладку фазу, побудувати для неї параметр порядку та з'ясувати різну роль далекосяжних взаємодій в утворенні неупорядкованої гладкої фази в BCSOS- і RSOS-моделях.

У межах описаного підходу є можливість суттєво розширити клас вивчених явищ на поверхні. Можна врахувати структурну неоднорідність поверхні, що приведе до неоднорідності zz -взаємодій у спіновій моделі. Такі неоднорідності виявлено в металах Wo , Mo [25] і напівпровідниках. Іншим перспективним напрямком є врахування фононних ступенів вільності поверхні.

[1] C. Hofner, J. W. Rabalais, Phys. Rev. B **58**, 9990 (1998).
 [2] I. Vilfan, J. Villain, Surf. Sci. **257**, 368 (1991).
 [3] L. Barbier, B. Salanon, J. Sposser, J. Vac. Sci. Technol. A **13**(1) 117 (1995).
 [4] M. A. Krzyzowski *et al.*, Phys. Rev. B **50**, 18505 (1994).
 [5] H. N. Yang, T. M. Lu, G. C. Wang, Phys. Rev. B **43**, 4714 (1991).
 [6] Y. Cao, E. H. Conrad, Phys. Rev. Lett. **64**, 447 (1990).
 [7] G. A. Held, J. L. Jordan-Sweet, P. M. Horn, A. Mak, R. J. Birgeneau, Phys. Rev. Lett. **59**, 2075 (1987).
 [8] P. Zeppenfeld, K. Kern, R. David, G. Comsa, Phys. Rev. Lett. **62**, 63 (1989).
 [9] P. Day, M. LaMadrid, M. Lysek, D. Goodstein, Phys. Rev. B **47**, 7501 (1993).
 [10] H. S. Youn, X. F. Meng, G. B. Hess, Phys. Rev. B **48**, 14556 (1993).
 [11] D. Davidson, M. den Nijs, Phys. Rev. E **55**, 1331 (1997).
 [12] S. B. Zhang, A. Zunger, Phys. Rev. B **53**, 1343 (1996).
 [13] V. P. LaBella, D. W. Bullock, M. Anser, Z. Ding, C. Emery, L. Bellaiche, P. M. Thibado, Phys. Rev. Lett. **90**, 216109 (2003).
 [14] S. T. Chui, J. D. Weeks, Phys. Rev. B **14**, 4978 (1976).
 [15] H. van Beijeren, Phys. Rev. Lett. **38**, 993 (1977).
 [16] V. P. Zhdanov, B. Kasemo, J. Chem. Phys. **108**, 4582 (1998).
 [17] П. Бэкстер, *Точно решаемые модели в статистичес-*

- кой механіке*, (Москва, Мир, 1985).
- [18] J. B. Kogut, *Rev. Mod. Phys.* **51**, 659 (1979).
- [19] A. Auerbach, *Interacting Electrons and Quantum Magnetism*, (New York, Springer-Verlag, 1994).
- [20] M. den Nijs, K. Rommelse, *Phys. Rev. B* **40**, 4709 (1989).
- [21] G. Santoro, M. Fabrizio, *Phys. Rev. B* **49**, 13886 (1994).
- [22] T. Hikihara, A. Furusaki, *Phys. Rev. B* **58**, R583 (1998).
- [23] G. Santoro *et al.*, *Phys. Rev. B* **53**, 13169 (1996).
- [24] S. Prestipino, E. Tosatti, *Phys. Rev. B* **57**, 10157 (1998).
- [25] T. E. Felter, R. A. Barker, P. J. Estrup, *Phys. Rev. Lett.* **38**, 1138 (1977).

**DISCRETE LATTICE SURFACE MODELS
AND THEIR QUANTUM SPIN COUNTERPARTS**

O. Zaburannyi

*Institute for Condensed Matter Physics of NAS of Ukraine
1 Svientsitskii St., Lviv, UA-79011, Ukraine, e-mail: zab@icmp.lviv.ua*

The review is devoted to the study of discrete surface models and their quantum spin counterparts. The work examines temperature transitions between flat, rough, reconstructed, and disordered flat phases. The fundamental aspect of the work is the transfer matrix method used for the description of temperature SOS models behaviour. The order parameters for surface phases and the quantum spin systems phases at zero temperature are confronted by the mean of transfer matrix method. The dependence is set between the asymptotic of correlation functions height–height and spin correlation functions.